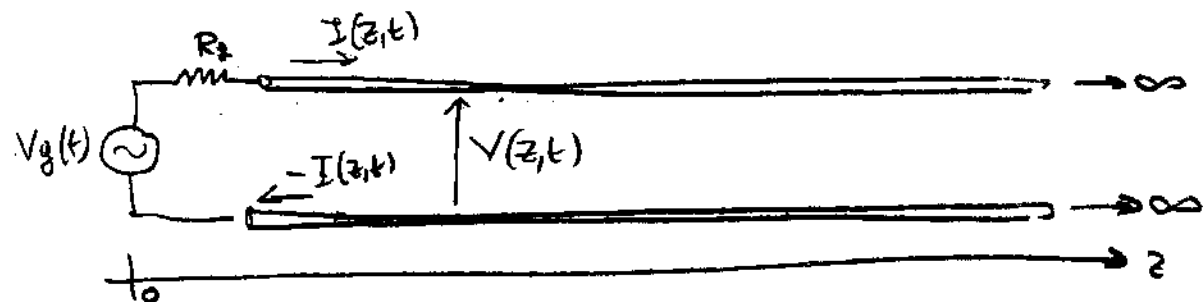


# LINEE DI TRASMISSIONE

Le linee di trasmissione può essere considerate come un semplice ed effettivo modello matematico in grado di descrivere gli sviluppi di fenomeni di propagazione guidata che avvengono nello spazio libero quali l'onda piana, l'induzione dei diversi tipi di antenne, le guida d'onda di qualche servizio ed infine proprio le linee a due conduttori, dalle quali partono queste rette.

Le equazioni che governano la propagazione (guidata) lungo una direzione possono essere dedotte a partire da considerazioni circuitali senza richiedere né soluzioni dirette delle equazioni di Maxwell, che è comunque necessaria per definire le costanti fisiche che governano tali equazioni.

Si consideri un sistema costituito da due conduttori paralleli connessi ad un generatore reale di tensione e che si estendono all'infinito

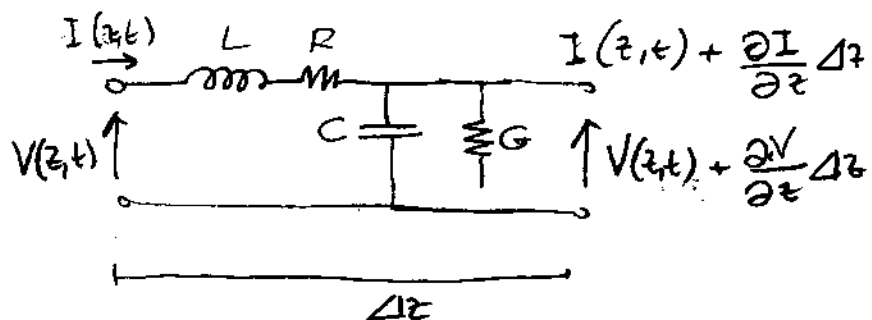


Il generatore impone una differenza di potenziale tra i due conduttori, che sarà uguale  $C_0 + \epsilon_0 \partial V / \partial z$  e anche l'eccitatore ha corrente  $I(t)$  sul conduttore superiore e  $-I(t)$  sul conduttore inferiore in modo che la corrente sia costante sul generatore.

Anche se i due conduttori vanno all'infinito, la corrente si mantiene costante tra i due conduttori per effetto delle capacità per unità di lunghezza  $C$  che si stabilisce tra di essi. Quando ci sarà un sostanziale spostamento tra i due conduttori.

Le presente corrente su ciascun conduttore genera un campo magnetico che potrà essere tenuto in conto tramite una induttanza per unità di Lunghezza.

Quindi le generatrici sono  $\Delta z$  delle lunghezze pur avendo uno dellele con il seguente circuito a costanti distribuite



$L$   $R$   $C$   $G$   
induttanza per  
unità di lunghezza

Dove si è tenuto conto anche della eventuale presenza di perdita nei conduttori, tenuti con resistenza  $R$  per unità di lunghezza, e delle perdite del dielettrico eventualmente frapposte tra i conduttori, tenuti con conduttanza per unità di lunghezza  $G$

— (peraggio di corri  
di condutture terrenate)

Dalle  $\frac{\partial V}{\partial z} = \frac{\partial I}{\partial z}$  il fatto di volerne sottrarre le tensioni e correnti si possono appurare le leggi di Kirchhoff del tratto  $\Delta z$

$$\rightarrow \text{variazione di tensione} = \frac{\partial V}{\partial z} \Delta z = -(L \Delta z) \frac{\partial I}{\partial t} - R \Delta z I$$

lungo  $\Delta z$

↑  
induttanza del  
tratto  $\Delta z$

$$\rightarrow \text{variazione di corrente} = \frac{\partial I}{\partial z} \Delta z = -C \Delta z \frac{\partial V}{\partial t} - G \Delta z V$$

lungo  $\Delta z$

cancellando  $\Delta z$  si ottengono le seguenti equazioni:

$$\begin{cases} \frac{\partial V}{\partial t} = -L \frac{\partial I}{\partial z} - RI \\ \frac{\partial I}{\partial z} = -C \frac{\partial V}{\partial t} - GV \end{cases}$$

descrivono con relazioni  
incrociate le dipendenze  
spaziali e temporali  
di tensione e corrente  
lungo la linea

Consideriamo per ora il caso semplificato di essere in perdite  $R=0$   $G=0$

$$\begin{cases} \frac{\partial V}{\partial t} = -L \frac{\partial I}{\partial z} \\ \frac{\partial I}{\partial z} = -C \frac{\partial V}{\partial t} \end{cases}$$

questo sistema di equazioni è del tutto analogo a quello che descrive le proprietà lungo la linea di propagazione lungo + di cui anche piene di componenti

quindi il formalismo delle linee di TX è uguale per descrivere le proprietà di una linea

$E_x \geq V$ $H_y \geq I$	$L \geq \mu$ $C \geq \epsilon$
------------------------------	-----------------------------------

Eliminiamo una venibile derivata ma delle due  
equazioni rispetto alla spazio, e l'altra rispetto al tempo

$$\frac{\partial^2}{\partial z^2} V = -L \frac{\partial^2 I}{\partial z \partial t}$$

$$\frac{\partial^2}{\partial t \partial z} I = -C \frac{\partial^2 V}{\partial z^2}$$

Assumendo che  $V$  ed  $I$  siano funzioni continue,  
le derivate parziali sono  
uguale e quindi

$$\frac{\partial^2 V}{\partial z^2} = LC \frac{\partial^2 V}{\partial t^2}$$

Equazione dei Telegrafisti

$$\sqrt{\frac{1}{LC}} = v \quad \text{ha dimensioni di una velocità}$$

Idee per la corrente

$$\frac{\partial^2 I}{\partial z^2} = \frac{1}{v^2} \frac{\partial^2 I}{\partial t^2}$$

In effetti fine

Hanno chiaramente le stesse forme delle equazioni delle onde e ammettono soluzioni viaggianti del tipo

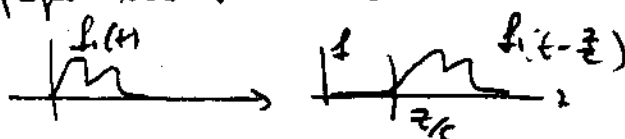
$$V(z, t) = f_1(t - \frac{z}{v}) + f_2(t + \frac{z}{v})$$

ca  $f_1$ ,  $f_2$   
funzioni arbitrarie

Basta sostituire tale funzione dentro l'equazione dei telegrafisti:

I valori assunti dalle funzioni  $f_1(t - \frac{z}{v})$  sono gli stessi

di quelli delle funzioni  $f_1(t)$  ma ritardati nel tempo di  
una quantità  $\frac{z}{v}$ . Quindi  $f_1$  descrive un'onda che  
si propaga nel verso  $z^+$  con velocità  $v$ .



il segnale grande  
ma si definisce  
(ma c'è dispersione)

$f_2(t + \frac{z}{v})$  descrive un'onda che si propaga in  $z^-$  con velocità  $v$ .

Le soluzioni generali per le tensioni sono pertanto

$$V(z, t) = V^+ f^+(t - \frac{z}{v}) + V^- f^-(t + \frac{z}{v})$$

↑                      ↑  
 costanti  
 di onde progressive  
 e regressive  
 (dipendenti dalle condizioni al confine)

$t, -$   
 per meglio  
 chiarire il  
 verso di propag.

## Regime Sinusoidale

$$v(z, t) = \operatorname{Re}(V(z)e^{j\omega t}) \quad V(z), I(z) \in \mathbb{C}$$

$$i(z, t) = \operatorname{Re}(I(z)e^{j\omega t})$$

L'equazione dei telefisti divenne

$$\frac{\partial^2 V}{\partial z^2} = LC \cdot \frac{\partial^2 V}{\partial t^2} \Rightarrow \begin{cases} \frac{\partial^2 V(z)}{\partial z^2} = -\omega^2 LC V(z) \\ \frac{\partial^2 I(z)}{\partial z^2} = -\omega^2 LC I(z) \end{cases}$$

Si ottiene  $\beta \equiv \omega \sqrt{LC}$  costante di propagazione  
per cui le equazioni precedenti dicono simili a  
quelle delle onde e ammettono quindi soluzioni

$$V(z) = V^+ e^{j\beta z} + V^- e^{-j\beta z}$$

$$T = \frac{2\pi}{\omega} \text{ periodo temporale}$$

$$I(z) = I^+ e^{-j\beta z} + I^- e^{j\beta z}$$

onda diretta      onda riflessa

$$\lambda = \frac{2\pi}{\beta} \text{ periodo spaziale}$$

Si consideri l'onda progressiva

$$V^+ e^{-j\beta z}$$



posto  $V^+ = |V^+| e^{j\alpha}$   $\Rightarrow$  nel tempo  $v^+(z, t) = |V^+| \cos(\omega t - \beta z + \alpha)$

→ Coefficiente di riflessione

$$\Gamma(z) \triangleq \frac{V^- e^{j\beta z}}{V^+ e^{-j\beta z}} = \frac{V^-}{V^+} e^{2j\beta z} = \Gamma(0) e^{2j\beta z}$$

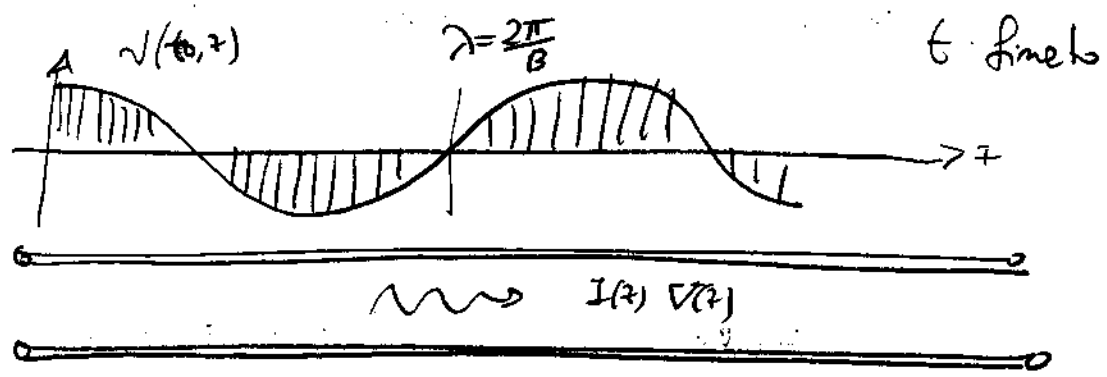
IMPEDENZA  
CARATTERISTICA  
DELLA LINEA

$$\Rightarrow \frac{V^+ e^{-j\beta z}}{I^+ e^{j\beta z}} = \frac{V^-}{I^-} \frac{e^{-j\beta z}}{e^{+j\beta z}}$$

per riflessione  
punto in  $z=0$

$$= Z_0 \sqrt{\frac{L}{C}}$$

impedenza caratteristica della linea  
Reale (se linea senza perdite)



- constant concentrate
- constant distribution

Il coefficiente di riflessione cambia quindi mentre ci si muove lungo la linea

$$\text{si può scrivere} \quad V^- e^{j\beta z} = V^-(z) = \underline{\Gamma(z) V^+(z)}$$

L'impedenza d'ingresso nel punto  $z$  è dato da

$$Z_{in}(z) \triangleq \frac{V(z)}{I(z)} = \frac{V^+(z) + V^-(z)}{I^+(z) + I^-(z)}$$

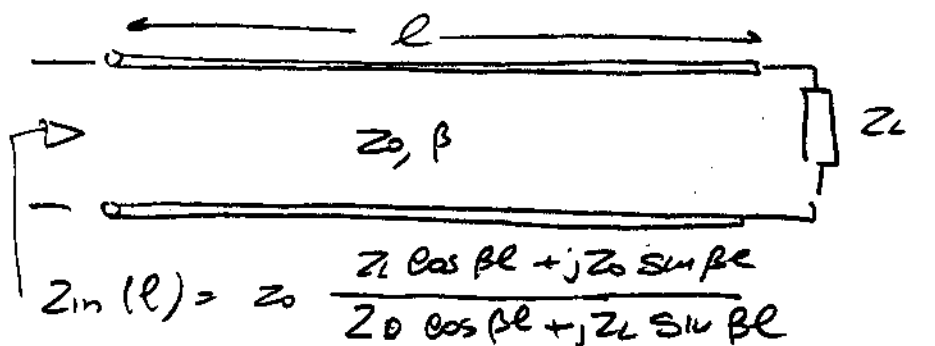
$$\text{si può dimostrare che} \quad I^-(z) = -\Gamma(z) I^+(z)$$

$$\Rightarrow Z_{in} = \frac{V^+ [1 + \Gamma(z)]}{I^+ [1 - \Gamma(z)]} = Z_0 \frac{1 + \Gamma(z)}{1 - \Gamma(z)}$$

Invertendo si trova la relazione tra  
coefficiente di riflessione ed impedenza d'ingresso

$$\boxed{\Gamma(z) = \frac{Z_{in} - Z_0}{Z_{in} + Z_0}}$$

### TRASPORTO DI IMPEDENZA



Un tratto di linea funziona quindi da transformatore  
di impedenza

### CASI NOTEVOLI

#### 1) Linee Infinitamente lunghe

ma c'è l'onda riflessa  $V=0 \quad I=0 \Rightarrow \Gamma=0$

$$\Rightarrow \boxed{Z_{in}(z) = Z_0}$$

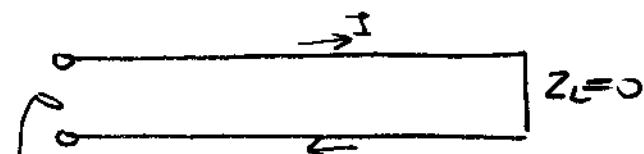
l'impedenza d'ingresso è quindi indipendente dalle frequenze

#### 2) Linee chiuse su cono adattato $Z_L = Z_0$

$$Z_{in}(z) = Z_0 \frac{Z_0 \cos \beta l + j Z_0 \sin \beta l}{Z_0 \cos \beta l + j Z_0 \sin \beta l} = Z_0$$

il cono adattato si muove quindi una linea infinitamente estesa

#### 3) Linee chiuse in corto circuito $Z_L = 0$



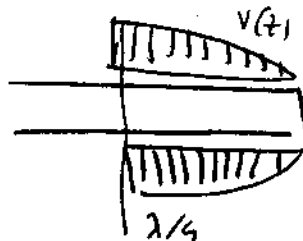
$$Z_{in} = Z_0 \frac{j Z_0 \sin \beta l}{Z_0 \cos \beta l} = j Z_0 \tan \beta l$$

è immaginaria

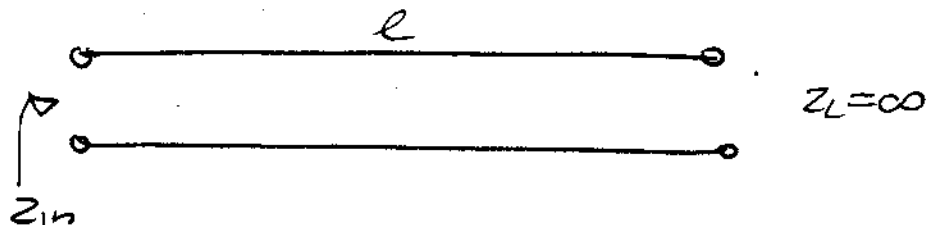
per la portata  $l = \lambda/4 \Rightarrow \beta l = \frac{2\pi}{\lambda} \frac{\lambda}{4} = \frac{\pi}{2}$

$$\Rightarrow \boxed{Z_{in} = \infty}$$

cioè in corto circuito viene trasformato in circuito aperto



#### 4) Linee in circuito aperto

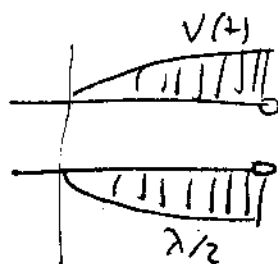


$$Z_{in}(l) = Z_0 \cdot \frac{\cos \beta l}{j \sin \beta l} = -j Z_0 \cot \beta l$$

è avere un immaginario pure

esso particolarmente  $l = \lambda/4 \Rightarrow \boxed{Z_{in}(\lambda/4) = 0}$

cioè il circuito aperto è trasformato in un corto circuito



N.B. tratti di linee di trasmissione in  
corto-circuito e circuito-aperto  
vengono chiamati STUB.

#### 5) Linee lunghe $l = \lambda/2$ (e suoi multipli)

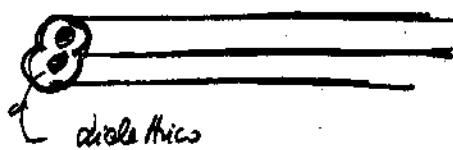
$$\beta l = \frac{2\pi}{\lambda} \frac{\lambda}{2} = \pi$$

$$\Rightarrow Z_{in}(\lambda/2) = Z_0 \frac{-Z_L}{-Z_0} = \boxed{Z_L}$$

trasformatore ideale : viene cioè visto esattamente  
l'impedenza di carico.

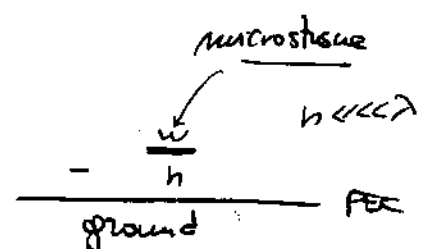
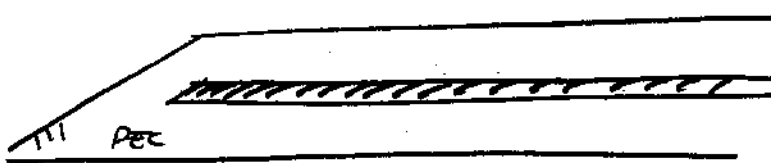
Esempi di linee di trasmissione a due conduttori

(A)

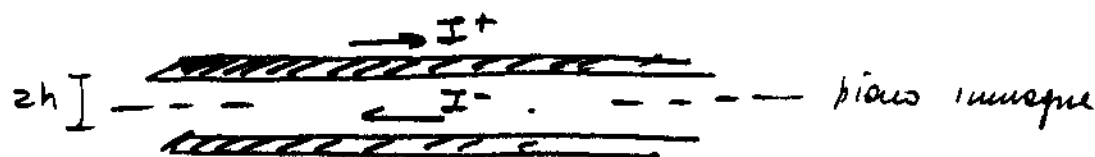


"Piatina"

(B)



Ie grand ligne de deux fils inégaux e quindi la struttura precedente è equivalente a due striscoline metalliche percorse da corrente opposte



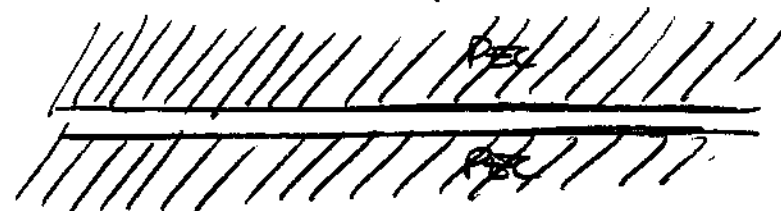
(C)



"Cavo coniab"

E' una struttura assimmetrica in quanto i due conduttori non sono simetrali.

D



Rect-Line

Ogni struttura ha i

$\beta$  e  $Z_0$  specifici

**Table 5.11b**  
**Formulas for Specific Transmission Line Configurations**

					Formulas for $a \ll b$
Capacitance $C$ , farads/meter	$\frac{2\pi\varepsilon}{\ln\left(\frac{r_0}{r_i}\right)}$	$\frac{\pi\varepsilon}{\cosh^{-1}\left(\frac{s}{d}\right)}$	-----	-----	$\frac{\pi b}{a}$
External inductance $L$ , henrys/meter	$\frac{\mu}{2\pi} \ln\left(\frac{r_0}{r_i}\right)$	$\frac{\mu}{\pi} \cosh^{-1}\left(\frac{s}{d}\right)$	-----	-----	$\frac{\mu b}{a}$
Conductance $G$ , siemens/meter	$\frac{2\pi\varepsilon}{\ln\left(\frac{r_0}{r_i}\right)} - \frac{2\pi\varepsilon''}{\ln\left(\frac{r_0}{r_i}\right)}$	$\frac{\pi\varepsilon''}{\cosh^{-1}\left(\frac{s}{d}\right)} - \frac{\pi\varepsilon''}{\cosh^{-1}\left(\frac{s}{d}\right)}$	-----	-----	$\frac{\pi b}{a} = \frac{\omega''b}{a}$
Resistance $R$ , ohms/meter	$\frac{R_s}{2\pi} \left( \frac{1}{r_0} + \frac{1}{r_i} \right)$	$\frac{2R_s}{\pi d} \left[ \frac{s/d}{\sqrt{(s/d)^2 - 1}} \right]$	$\frac{2R_{s2}}{\pi d} \left[ 1 + \frac{1+2p^2}{4p^4} (1-4q^2) \right] + \frac{8R_{s2}}{\pi D} q^2 \left[ 1 + q^2 - \frac{1+4p^2}{8p^4} \right]$	-----	$\frac{2R_s}{b}$
Internal inductance $L_0$ , henrys/meter (for high frequency)	-----	-----	$R$	$\omega$	-----
Characteristic impedance at high frequency $Z_0$ , ohms	$\frac{\pi}{2\pi} \ln\left(\frac{r_0}{r_i}\right)$	$\frac{\pi}{\pi} \cosh^{-1}\left(\frac{s}{d}\right)$	$\frac{\pi}{\pi} \left[ \ln \left[ 2p \left( \frac{q^2}{1+q^2} \right) \right] \right. \\ \left. \frac{1+4p^2}{16p^4} (1-4q^2) \right]$	-----	$\frac{\pi}{b}$
$Z_0$ for air dielectric	$60 \ln\left(\frac{r_0}{r_i}\right)$	$120 \cosh^{-1}\left(\frac{s}{d}\right) \cong 120 \ln\left(\frac{2s}{d}\right)$ if $s/d \gg 1$	$120 \left[ \ln \left[ 2p \left( \frac{1-q^2}{1+q^2} \right) \right] \right. \\ \left. \frac{1+4p^2}{16p^4} (1-4q^2) \right]$	-----	$120\pi \frac{a}{b}$
Attenuation due to conductor $\alpha_c$	-----	-----	$R$	$2Z_0$	-----
Attenuation due to dielectric $\alpha_d$	-----	-----	$\frac{GZ_0}{2} = \frac{\sigma \eta}{2} = \frac{\pi}{\lambda} \left( \frac{\epsilon''}{\epsilon'} \right)$	-----	-----
Total attenuation dB/meter	-----	-----	-----	$8.686(z_0 + \alpha_d)$	-----
Phase constant for low-loss lines $\beta$	-----	-----	$\omega\sqrt{\mu\epsilon'} = \frac{2\pi}{\lambda}$	-----	-----

All units above are mks.

$$\epsilon' - j\epsilon'' = \text{permittivity, farads/meter}$$

$$\mu = \text{permeability, henrys/meter}$$

$$\eta = \sqrt{\mu/\epsilon} \text{ ohms}$$

for the dielectric

$$\epsilon'' = \text{loss factor of dielectric} = \sigma/\omega$$

$$R_s = \text{skin effect surface resistivity of conductor, ohms}$$

$$\lambda = \text{wavelength in dielectric}$$

Formulas for shielded pair obtained from Green, Leibe, and Curtis, Bell System Tech. Journ., 15, pp. 248-284 (April 1936).